

# Л и т е р а т у р а

- [1] Б а с о в Н.Г., К р о х и н О.Н., П о п о в Ю.М. - УФН, 1960, т. 72, № 2, с. 161-209.
- [2] Б е н е с л а в с к и й С.Д., И в а н о в - О м с к и й В.И., К о л о м и е ц Б.Т., С м и р н о в В.А. - Ф Т Т, 1974, т. 16, № 6, с. 1620-1629.
- [3] Г а н т м а х е р В.Ф., Л е в и н с о н И.Б. Рассеяние носителей тока в металлах и полупроводниках. М.: Наука, 1984. 350 с.

Институт прикладной  
физики АН СССР,  
Горький

Поступило в Редакцию  
2 июля 1988 г.

Письма в ЖТФ, том 14, вып. 22

26 ноября 1988 г.

## ВЛИЯНИЕ ФОТОПРОВОДИМОСТИ НА ЭЛЕКТРООПТИЧЕСКОЕ ВЗАИМОДЕЙСТВИЕ В ДИФФУЗИОННЫХ ВОЛНОВОДАХ $Ti:LiNbO_3$ С ПРОСТРАНСТВЕННО МОДУЛИРОВАННОЙ ДИЭЛЕКТРИЧЕСКОЙ ПРОНИЦАЕМОСТЬЮ

В.Н. Б е л ы й, И.Г. В о й т е н к о,  
Н.Н. Г о р е л ы й, Б.Б. С е в р у к

В последнее время интенсивно исследуется электрооптическое взаимодействие в волноводах на ниобате лития с диффузией титана [1-3]. В наших экспериментах [3, 4] было замечено, что при работе электрооптических модуляторов на низких частотах управляющего напряжения появляются значительные искажения дифракционной картины. В [4, 5] упоминается, что подобные искажения могут быть связаны с возможной проводимостью волноводного слоя.

В данной работе исследуется влияние фотоиндуцированных зарядов на эффективность дифракции в электрооптических решетках. На поверхности ниобата лития  $y$  - среза диффузией титана создавался оптический волновод с эффективной толщиной  $\sim 2$  мкм. Методом фотолитографии была нанесена встречно-штыревая система электродов с периодом  $d = 40$  мкм и длиной электродов  $L = 4$  мм, при этом штрихи решетки параллельны оси  $x$  кристалла. С помощью призмы связи волновод возбуждался пучком света  $He - Ne$  лазера ( $\lambda = 0,63$  мкм) мощностью 5 мВт и  $D = 1$  мм, так что в области под электродами в направлении оси  $x$  распространялась волноводная  $TE_0$ -мода. При отсутствии напряжения на электродах на экране наблюдалась дифракционная картина (рис. 1, а), обусловленная периодической металлизацией поверхности волновода. При подаче на электроды напряжения в области волновода создавалась электрооптическая решетка с периодом  $A = 2d =$

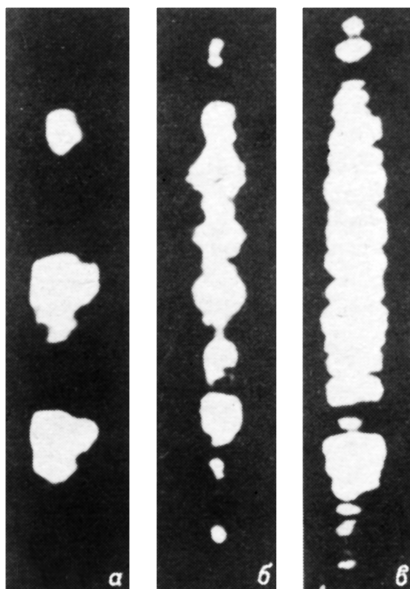


Рис. 1. Картина дифракции при различных режимах модуляции.  
а - отсутствие напряжения, б - высокочастотное  $f = 1$  мГц, в - низкочастотное  $f = 10$  кГц управляющее напряжение.

$= 80$  мкм, и примерно синусоидальной модуляцией диэлектрической проницаемости. Картина дифракции на такой решетке существенно зависела от частоты модуляции прикладываемого к электродам напряжения. Для высоких частот  $f \geq 1$  мГц между максимумами решетки поглощения появляются дополнительные дифракционные максимумы (рис. 1, б), обусловленные фазовой электрооптической решеткой. С уменьшением частоты модуляции происходило искажение дифракционной картины, особенно заметное при частотах  $f \leq 20$  кГц (рис. 1, в). Из приведенных на рис. 2 кривых следует, что при длительностях импульсов  $\tau \leq 1$  мкс эффективность дифракции остается постоянной во времени. С увеличением длительности импульсов и частоты их следования интенсивность дифрагированного сигнала растет.

Искажение дифракционной картины обусловлено возрастанием проводимости кристалла в области планарного оптического волновода. Благодаря наличию примесей энергия кванта  $He - Ne$  лазера становится сравнимой с энергией ионизации соответствующей примеси, вследствие чего происходит фотовозбуждение носителей заряда, и проводимость волноводного слоя возрастает.

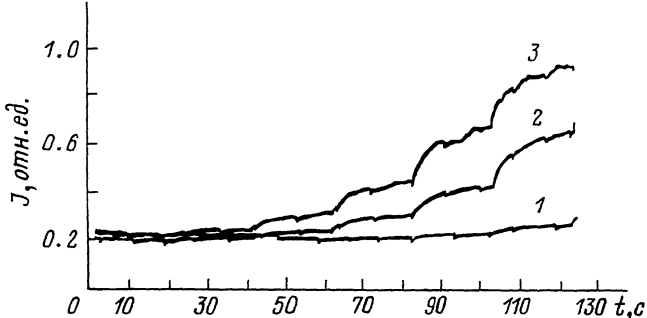


Рис. 2. Зависимость интенсивности сигнала в первом порядке дифракции от времени. Длительности импульсов электрического напряжения  $T$ : 1 -  $T = 1$  мкс, 2 -  $T = 5$  мкс, 3 -  $T = 10$  мкс. Начальная частота следования 10 кГц, частота изменяется через каждые 10 с на 10 кГц.

В стационарном состоянии плотность фотовоизбужденных носителей  $n_{st}$  дается выражением [6]

$$n_{st} = \beta \frac{\alpha \gamma}{\hbar \omega} \cdot \tau_H, \quad (1)$$

где  $J$  - интенсивность света с энергией квантов  $\hbar \omega$ ,  $\beta$  - квантовый выход,  $\alpha$  - коэффициент оптического поглощения,  $\tau_H$  - время жизни неравновесного носителя. Поскольку в волноводе интенсивность света возрастает примерно в  $D/h$  раз ( $D$  - диаметр светового пучка,  $h$  - толщина волновода), то в соответствии с (1) во столько раз возрастает концентрация носителей в зоне проводимости. В поле  $\varphi(y, z) = \pm \varphi_0 \sin Kz \cdot \exp(-Ky)$ , фотоиндуцированные электроны сосредотачиваются в потенциальных ямах, образуя периодически распределенный пространственный заряд, который можно представить в виде ряда по гармоникам  $n_m$  электронной плотности [6]:

$$n(z) = \sum_{m=1}^{\infty} n_m \sin(mKz). \quad (2)$$

Кинетика образования и релаксации объемного заряда иллюстрируется рис. 3. Видно, что с момента отключения электродов от источника питания происходит экспоненциальное спадание интенсивности дифрагированного света, причем время релаксации растет с увеличением амплитуды подаваемого напряжения.

В сильном электрическом поле  $E \approx 10^4 \frac{В}{см}$  размеры электронных сгустков  $\Delta x$  становятся много меньше периода решетки  $\Lambda = 22d$  [6]. При  $\Delta x \ll \Lambda$  амплитуды гармоник  $n_m$  с малыми номерами  $m$  примерно одинаковы [6] и совпадают со средним значением концентрации (1) фотовоизбужденных носителей:

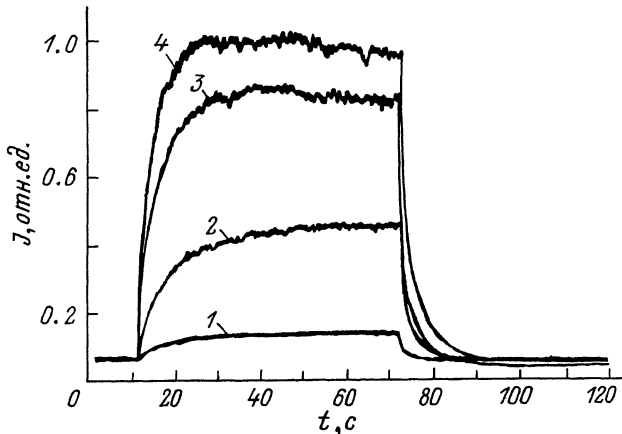


Рис. 3. Зависимость интенсивности дифрагированного света от времени воздействия электрического поля при различных значениях постоянного напряжения длительностью 60 с. 1 - 2 В, 2 - 6 В, 3 - 10 В, 4 - 14 В.

$$n_1 = n_2 = n_3 = \dots n_{st} .$$

Каждая фурье-компоненты электронной плотности индуцирует электрическое поле, потенциал  $\varphi_m$  которого удовлетворяет уравнению Пуассона  $\epsilon \epsilon_0 \nabla^2 \varphi_m = q n_m$  ( $\epsilon = \epsilon_{zz}$  - диэлектрическая проницаемость кристалла,  $q$  - заряд электрона). Несложно показать, что  $\varphi_m = \frac{q n_{st}}{\epsilon \epsilon_0 m^2 K^2}$ , то есть  $m$ -тая гармоника потенциала обратно пропорциональна квадрату номера гармоники. В свою очередь каждая гармоника потенциала  $\varphi_m$  создает фазовую электрооптическую решетку с периодом  $\Lambda/m$  и амплитудой диэлектрической проницаемости  $|\Delta \epsilon_m| = \frac{\epsilon \epsilon_0 q n_{st} r_{33}}{m K}$ , где  $r_{33}$  - электрооптический коэффициент. Таким образом, амплитуды первых, проявляющихся в эксперименте гармоник диэлектрической решетки, пропорциональны интенсивности света, и обратно пропорциональны номеру гармоники.

Обсудим теперь результаты экспериментов на рис. 1 и 2. При низких частотах модуляции, когда длительность воздействия  $\tau$  отдельного электрического импульса сравнивается с временем максвелловской релаксации  $\tau_M = \frac{\epsilon \epsilon_0}{q \mu n_{st}} (\tau \geq \tau_M)$ , происходит образование пространственно периодического объемного заряда. Поле этого заряда, как показано выше, искажает внешнее пространственно-периодическое поле. В результате электрооптическая решетка наряду с основной ( $m = 1$ ) содержит дополнительные решетки с периодом  $\Lambda/m$  ( $m = 2, 3 \dots$ ), что в конечном итоге проявляется на эксперименте в искажении дифракционной картины (рис. 1, в).

Следует отметить, что поле объемного заряда направлено противоположно полю управляющих электродов, что приводит к уменьшению эффективности рассеяния на электрооптической решетке периода  $\Lambda$ . Тем не менее в промежуточном режиме (параметр Клейна  $Q \approx 1$ ) в первый дифракционный порядок от основной решетки дают вклад и другие электрооптические решетки. Поэтому с увеличением длительности и частоты следования импульсов эффективность дифракции растет (рис. 2, кривые 2 и 3).

С увеличением частоты модуляции на эксперименте наблюдалось улучшение качества дифракционной картины. Это объясняется тем, что объемный заряд становится менее локализованным и внутреннее поле пространственно-периодического заряда ослабевает.

Наконец, при высоких частотах модуляции, когда  $\varepsilon \ll \varepsilon_m$ , электроны не успевают собираться в сгустки, решетка пространственного заряда не образуется и искажение дифракционной картины отсутствует (рис. 1, б), а эффективность дифракции постоянная во времени и не зависит от частоты следования импульсов (рис. 2, кривая 1).

Таким образом, в настоящей работе установлена физическая причина искажений дифракционной картины в электрооптических волноводных модуляторах, обусловленных появлением фотоиндукционных пространственно модулированных объемных зарядов. Показано, что в зависимости от частоты модулирующего напряжения имеются два качественно различных режима электрооптического взаимодействия.

#### Л и т е р а т у р а

- [1] Голубков В.С., Евтихьев Н.Н., Папуловский В.Ф. Интегральная оптика. М.: Энергоатомиздат, 1985. 151 с.
- [2] Свечников Г.С. Элементы интегральной оптики. М.: Радио и связь, 1987. 105 с.
- [3] Войтенко И.Г., Редько В.П. - Письма в ЖТФ, 1981, т. 17, в. 7, с. 418-421.
- [4] Войтенко И.Г., Редько В.П. - ЖТФ, 1982, № 4, с. 775-777.
- [5] Кузьминов Ю.С. Электрооптический и нелинейнооптический кристалл ниобата лития. М.: Наука, 1987. 264 с.
- [6] Панков Ж. Оптические процессы в полупроводниках, М.: Мир, 1973. 687 с.

Институт физики АН БССР,  
Могилевское отделение

Поступило в Редакцию  
18 июля 1988 г.